

## 两个双核稀土金属配位聚合物的溶剂热合成、晶体结构及荧光性质

邓青锋 于良民 李霞\*

(中国海洋大学,海洋化学理论与工程技术教育部重点实验室,青岛 266100)

**摘要:** 以顺丁烯二酰肼(MH)为配体,通过溶剂热法合成了配位聚合物 $[Dy_2(MH)_6]_n \cdot 0.5DMF$  (**1**)和 $[Eu_2(MH)_6]_n$  (**2**)。通过红外光谱、X射线粉末衍射、X射线单晶衍射表征了2个晶体的结构。配合物**1**和**2**都是三斜晶系, $P\bar{I}$ 空间群。以双核结构为顶点作图得到配合物的空间拓扑结构,拓扑类型为tsi。配合物的热重分析结果表明2个配合物在315 °C左右仍有较好的热稳定性。固体荧光结果表明配合物**2**在激发波长为375 nm时有对应 $Eu^{3+}$ 的 $^5D_0 \rightarrow ^7F_J$  ( $J=0 \sim 4$ )能级能量的5个发射峰,最强发射峰波长为616 nm,归属为 $Eu^{3+}$ 的 $^5D_0 \rightarrow ^7F_2$ 能级跃迁。

**关键词:** 镧系配合物; 荧光; 配位; 顺丁烯二酰肼

中图分类号: O614.342; O614.33<sup>+8</sup>

文献标识码: A

文章编号: 1001-4861(2017)09-1561-07

DOI: 10.11862/CJIC.2017.210

## Two Lanthanide Complexes with Maleichydrazide: Syntheses, Structures and Fluorescence Properties

DENG Qing-Feng YU Liang-Min LI Xia\*

(Key Laboratory of Marie Chemistry Theory and Technology, Ministry of Education,  
Ocean University of China, Qingdao, Shandong 266100, China)

**Abstract:** Two lanthanide-organic frameworks  $[Dy_2(MH)_6]_n \cdot 0.5DMF$  (**1**) and  $[Eu_2(MH)_6]_n$  (**2**) ( $MH=$ maleichydrazide and  $DMF=N,N$ -dimethylformamide) have been synthesized and characterized by X-ray single-crystal diffraction and X-ray powder diffraction. Two complexes are both Triclinic  $P\bar{I}$  space group.  $Ln^{(III)}$  ions adopt same coordination environments, and seven-coordinated  $Ln^{(III)}$  atom form feature isostructural 3D structures, topological type:tsi. The luminescence properties of **1** and **2** were investigated. Under the excitation of 375 nm, the emission spectrum of complex **2** shows five peaks at 581, 593, 616, 652 and 705 nm, corresponding to  $^5D_0 \rightarrow ^7F_J$  ( $J=0 \sim 4$ ) transitions of  $Eu^{3+}$ . The emission spectrum of complex **1** shows a peak at 618 nm, which plausibly arises from  $\pi^*-\pi$  transition of ligands. CCDC: 1473814, **1**; 1473816, **2**.

**Keywords:** lanthanide complex; fluorescence; coordination; maleichydrazide

镧系金属骨架材料(Ln-MOFs)因其多样的空间结构和可调的孔径在气体储存<sup>[1-2]</sup>、化学催化<sup>[3-6]</sup>、荧光传感<sup>[7-9]</sup>、磁性材料<sup>[10-12]</sup>等领域都有潜在的应用价值。在该类材料中,镧系金属离子具有独特的4f电子层结构,离子半径大,与配体亲和能力强且配位数多,能够通过普通的方法与羧酸类以及常见的中性配体

配位形成结构新颖、理化性质独特的Ln-MOFs<sup>[13]</sup>。而Ln-MOFs由于其本身独特的发光特性如高的量子产率,长的发光寿命,大的斯托克斯位移和清晰的特征发射谱<sup>[14-16]</sup>,使之在光致发光材料领域受到关注。研究发现,Ln-MOFs的空间结构和性质主要由配体和中心金属离子决定,合适的配体可以提高中心离子

收稿日期:2017-02-24。收修改稿日期:2017-07-31。

国家自然科学基金(No.41576077)和中国海洋大学青年教师科研专项基金(No.201513025)资助项目。

\*通信联系人。E-mail:xiali@ouc.edu.cn

的稳定性并且敏化金属离子的发光性能<sup>[17]</sup>。顺丁烯二酰肼具有独特的共轭内酰胺刚性分子结构，有多个可配位的N、O原子，因此是一种较好的多齿配体。本文以顺丁烯二酰肼(MH)为配体合成2个具有三维网状空间结构的Ln-MOFs，并测定了其晶体结构、热稳定性以及荧光性质。

## 1 实验部分

### 1.1 试 剂

顺丁烯二酰肼(MH)(98%), Dy<sub>2</sub>O<sub>3</sub>(99.9%), Eu<sub>2</sub>O<sub>3</sub>(99.9%), 硝酸以及其他试剂均为分析纯。

### 1.2 测 试 仪 器

XRD通过Bruker D8 Avance X射线粉末衍射仪测定，工作电压为40 kV，工作电流为40 mA，以Cu K $\alpha$ <sub>1</sub>( $\lambda=0.154\text{059}\text{8 nm}$ )为辐射光源，扫描范围 $2\theta=5^\circ\text{--}80^\circ$ ；红外吸收光谱通过Bruker Equinox55型傅立叶红外光谱仪(4 000~400 cm<sup>-1</sup>)测定；热重分析通过NetzschSTA449 F3热重分析仪测定；荧光通过日立F4600荧光光谱仪测定。

### 1.3 配合物的合成

实验中所用的Dy(NO<sub>3</sub>)<sub>3</sub>·6H<sub>2</sub>O和Eu(NO<sub>3</sub>)<sub>3</sub>·6H<sub>2</sub>O分别通过金属氧化物Dy<sub>2</sub>O<sub>3</sub>和Eu<sub>2</sub>O<sub>3</sub>与硝酸反应得到。

配合物[Dy<sub>2</sub>(MH)<sub>6</sub>]·0.5DMF (**1**)的合成：将0.091 g(0.2 mmol)的Dy(NO<sub>3</sub>)<sub>3</sub>·6H<sub>2</sub>O和0.067 g(0.6 mmol)的顺丁烯二酰肼加入容积20 mL的水热反应釜中，再加入5 mL溶剂DMF，将反应釜拧紧放入有程序控温功能的烘箱中，在170 °C的条件下反应72 h后，以2 °C·h<sup>-1</sup>的速率降至室温。过滤收集晶体用DMF浸泡48 h后再用丙酮浸泡48 h晾干，放入真空干燥箱中在60 °C下真空干燥24 h。得到黄色粒状的

晶体27.5 mg，产率27%。元素分析(C<sub>24</sub>H<sub>18</sub>Dy<sub>2</sub>N<sub>12</sub>O<sub>12</sub>)：计算值(%)：C, 29.07；H, 1.83；N, 16.95。实验值(%)：C, 29.15；H, 1.85；N, 17.01。FTIR (KBr, cm<sup>-1</sup>)：3 568, 3 164 (N-H), 1 648(C=O), 1 567(C=C), 1 458, 844(N-H), 1 376 (C-N), 996(C-H)。

配合物[Eu<sub>2</sub>(MH)<sub>6</sub>] (**2**)合成：除金属盐为Eu(NO<sub>3</sub>)<sub>3</sub>·6H<sub>2</sub>O、反应温度为180 °C外，其他反应条件和后处理方法与配合物**1**基本一致。产物为黄色针状的晶体28.5 mg，产率29%。元素分析结果(C<sub>24</sub>H<sub>18</sub>Eu<sub>2</sub>N<sub>12</sub>O<sub>12</sub>)：计算值(%)：C, 29.70；H, 1.87；N, 17.32。实验值(%)：C, 29.85；H, 1.91；N, 17.33。FTIR (KBr, cm<sup>-1</sup>)：3 447, 3 152(N-H), 1 646(C=O), 1 567(C=C), 1 462, 841(N-H), 1 388(C-N), 1 001(C-H)。

### 1.4 晶体结构的测定

选择尺寸为0.46 mm×0.40 mm×0.25 mm的配合物单晶**1**和0.48 mm×0.37 mm×0.25 mm的配合物单晶**2**，用Bruker Smart Apex CCD X射线单晶衍射仪，经石墨单色器单色化的 $\lambda=0.071\text{073 nm}$ 的Mo K $\alpha$ 为辐射光源，在298 K条件下以 $\varphi$ - $\omega$ 方式收集衍射数据。使用SADABS程序<sup>[18]</sup>对衍射强度数据进行半经验吸收校正，选取 $I>2\sigma(I)$ 的可观察点用于结构解析和修正。晶体结构用SHELXS-97程序经直接法解出，部分非氢原子通过随后的差值Fourier合成确定。对非氢原子的坐标及各向异性热参数用SHELXL-97程序进行全矩阵最小二乘法修正<sup>[19-20]</sup>。配合物**1**中包含占有率为0.5的游离DMF，配合物**2**结构中溶剂DMF分子的无序性太高无法正确的建模，因此用晶体软件PLATON中的SQUEEZE滤去<sup>[21]</sup>。配合物**1**和**2**的主要晶体学和修正数据在表1中列出。

CCDC: 1473814, **1**; 1473816, **2**。

表1 配合物**1**和**2**的晶体学和结构修正数据

Table 1 Crystal data and structure refinement for complexes **1** and **2**

Complex	<b>1</b>	<b>2</b>
Empirical formula	C <sub>24</sub> H <sub>18</sub> Dy <sub>2</sub> N <sub>12</sub> O <sub>12</sub>	C <sub>24</sub> H <sub>18</sub> Eu <sub>2</sub> N <sub>12</sub> O <sub>12</sub>
Formula weight	991.50	970.42
Crystal system	Triclinic	Triclinic
Space group	P $\bar{1}$	P $\bar{1}$
<i>a</i> / nm	1.051 60(8)	1.059 44(9)
<i>b</i> / nm	1.141 29(9)	1.148 80(11)
<i>c</i> / nm	1.636 37(14)	1.644 92(14)
$\alpha$ / (°)	100.038(2)	99.983 0(10)
$\beta$ / (°)	104.852(3)	104.884(2)

续表 1

$\gamma / (\text{°})$	107.200(3)	107.886(2)
$V / \text{nm}^3$	1.745 6(2)	1.770 7(3)
$Z$	1	2
$D_c / (\text{g} \cdot \text{cm}^{-3})$	1.956	1.820
Absorption coefficient / $\text{mm}^{-1}$	4.326	3.582
$F(000)$	468	462
Max. and min. transmission	0.411 0 and 0.240 9	0.467 9 and 0.278 2
Data, restraint, parameter	6 069, 0, 498	6 148, 0, 451
Goodness of fit on $F^2$	1.033	1.076
Final $R$ indices [ $I > 2\sigma(I)$ ]	$R_1=0.060\ 5, wR_2=0.168\ 1$	$R_1=0.073\ 7, wR_2=0.198\ 6$
$R$ indices (all data)	$R_1=0.072\ 7, wR_2=0.177\ 9$	$R_1=0.086\ 5, wR_2=0.204\ 7$
Largest diff. peak and hole / ( $\text{e} \cdot \text{nm}^{-3}$ )	2 460 and -3 166	4 466 and -3 037

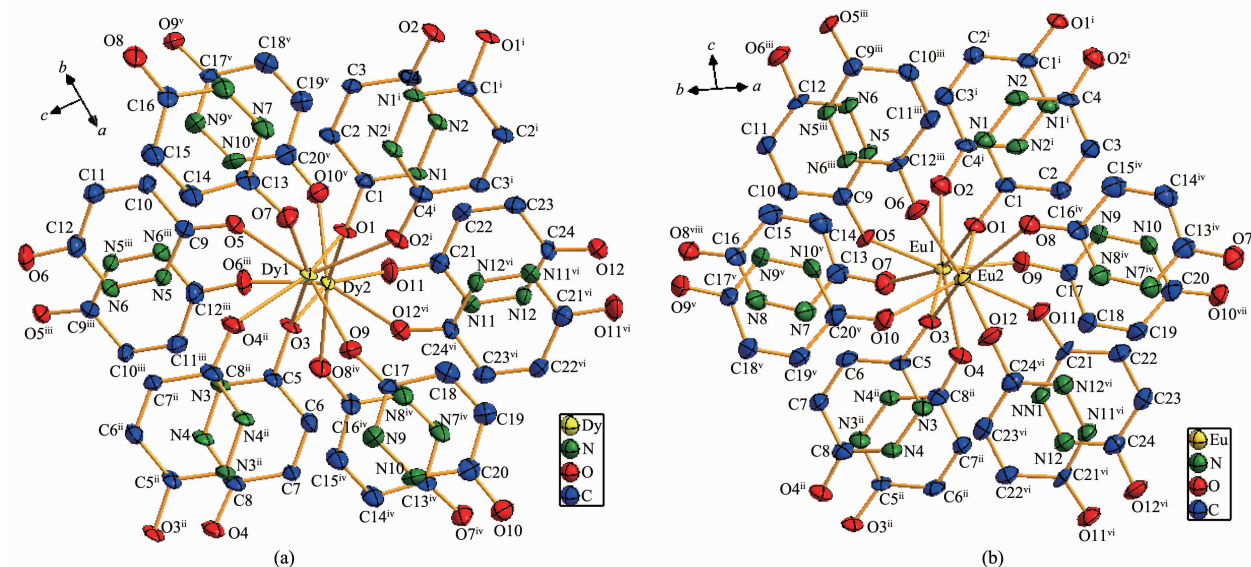
## 2 结果与讨论

### 2.1 配合物的晶体结构

由数据可知配合物 **1** 和 **2** 属于三斜晶系,  $P\bar{1}$  空间群。其不对称单元结构(图 1)中 2 个中心金属离子为七配位构型, 12 个配位氧原子来自不同 MH 配体, 2 个中心金属离子同时与来自 2 个 MH 配体的氧原子配位形成双核结构。以金属离子周围参与配位的氧原子为顶点, 形成一个变形的十面体将金属离子包在其中(图 2b)。在 2 个配合物中配体的配位方式有 2 种, 一种为两端的氧原子分别与 2 个金属离子单齿配位; 另一种为一端的氧原子与 2 个金属

离子单齿桥联配位, 另一端的氧原子与一个金属离子单齿配位(图 2a)。

主要键长键角数据在表 2 中列出, 配合物 **1** 中 Dy1 和 Dy2 通过 O1 和 O3 桥联在一起形成不对称结构单元中的双核结构。以 Dy1 为中心的 Dy1-O 的键长在 0.220 6(7) 到 0.240 5(7) nm 之间。O-Dy1-O 的键角在 75.5(2)° 到 155.2(3)° 之间, 以 Dy2 为中心的 Dy2-O 的键长在 0.220 1(7) 到 0.236 9(7) nm 之间, O-Dy2-O 的键角在 73.2 (3)° 到 148.8 (3)° 之间, Dy1 到 Dy2 的距离为 0.387 3 (4) nm, Dy1-O1-Dy2 和 Dy1-O3-Dy2 的键角都为 110.2(2)°。配合物 **2** 中 Eu1 和 Eu2 也通过 O1 和 O3 桥联形成双核结构, Eu1 到



Probability level: 30%; Symmetry codes: <sup>i</sup> 1-x, 1-y, -z; <sup>ii</sup> 2-x, 1-y, 1-z; <sup>iii</sup> 1-x, 1-y, 1-z; <sup>iv</sup> x, -1+y, z; <sup>v</sup> -1+x, y, z; <sup>vi</sup> 1-x, -y, -z for **1**; <sup>i</sup> 1-x, 2-y, 1-z; <sup>ii</sup> -x, 2-y, -z; <sup>iii</sup> -x, 2-y, 1-z; <sup>iv</sup> x, -1+y, z; <sup>v</sup> -1+x, y, z; <sup>vi</sup> 1-x, 1-y, -z; <sup>vii</sup> 1+x, y, z; <sup>viii</sup> x, 1+y, z for **2**

图 1 配合物 **1** (a) 和 **2** (b) 的不对称单元结构图Fig.1 View of the asymmetric unit of complex **1** (a) and **2** (b)

表2 配合物1和2的部分键长键角数据  
Table 2 Selected bond lengths (nm) and angle ( $^{\circ}$ ) for complexes 1 and 2

1					
Dy(1)-O(9)	0.220 6(7)	Dy(1)-O(1)	0.236 9(7)	Dy(2)-O(10) <sup>v</sup>	0.234 7(7)
Dy(1)-O(7)	0.220 7(7)	Dy(1)-O(2) <sup>ii</sup>	0.240 5(7)	Dy(2)-O(1)	0.235 4(6)
Dy(1)-O(5)	0.234 5(7)	Dy(2)-O(6) <sup>iii</sup>	0.220 1(7)	Dy(2)-O(3)	0.236 0(7)
Dy(1)-O(4) <sup>i</sup>	0.235 0(6)	Dy(2)-O(11)	0.225 8(7)	Dy(2)-O(12) <sup>vi</sup>	0.236 9(7)
Dy(1)-O(3)	0.236 3(6)	Dy(2)-O(8) <sup>iv</sup>	0.234 2(7)		
O(9)-Dy(1)-O(7)	110.6(3)	O(7)-Dy(1)-O(3)	155.1(3)	O(3)-Dy(1)-O(1)	69.7(2)
O(9)-Dy(1)-O(5)	155.2(3)	O(5)-Dy(1)-O(3)	80.0(2)	O(9)-Dy(1)-O(2) <sup>ii</sup>	77.3(3)
O(7)-Dy(1)-O(5)	77.7(3)	O(4)-Dy(1)-O(3)	82.9(2)	O(7)-Dy(1)-O(2) <sup>ii</sup>	75.8(3)
O(9)-Dy(1)-O(4) <sup>i</sup>	78.8(3)	O(9)-Dy(1)-O(1)	118.5(3)	O(5)-Dy(1)-O(2) <sup>ii</sup>	127.4(2)
O(7)-Dy(1)-O(4) <sup>i</sup>	82.4(3)	O(7)-Dy(1)-O(1)	114.4(3)	O(4)-Dy(1)-O(2) <sup>ii</sup>	139.2(3)
O(5)-Dy(1)-O(4) <sup>i</sup>	79.3(2)	O(5)-Dy(1)-O(1)	75.5(2)	O(3)-Dy(1)-O(2) <sup>ii</sup>	127.4(2)
O(9)-Dy(1)-O(3)	85.9(3)	O(4)-Dy(1)-O(1)	145.3(3)	O(1)-Dy(1)-O(2) <sup>ii</sup>	75.5(2)
O(6) <sup>iii</sup> -Dy(2)-O(11)	116.8(3)	O(11)-Dy(2)-O(1)	112.4(3)	O(1)-Dy(2)-O(3)	69.9(2)
O(6) <sup>iii</sup> -Dy(2)-O(8) <sup>iv</sup>	79.1(3)	O(8)-Dy(2)-O(1)	147.2(3)	O(6) <sup>iii</sup> -Dy(2)-O(12) <sup>vi</sup>	148.8(3)
O(11)-Dy(2)-O(8) <sup>iv</sup>	83.6(3)	O(10)-Dy(2)-O(1)	73.2(3)	O(11)-Dy(2)-O(12) <sup>vi</sup>	80.0(3)
O(6) <sup>iv</sup> -Dy(2)-O(10) <sup>v</sup>	79.5(3)	O(6) <sup>iii</sup> -Dy(2)-O(3)	82.7(3)	O(8) <sup>iv</sup> -Dy(2)-O(12) <sup>vi</sup>	77.0(3)
O(11)-Dy(2)-O(10) <sup>v</sup>	76.1(3)	O(11)-Dy(2)-O(3)	153.8(3)	O(10) <sup>v</sup> -Dy(2)-O(12) <sup>vi</sup>	131.4(3)
O(8) <sup>iv</sup> -Dy(2)-O(10) <sup>v</sup>	139.6(3)	O(8) <sup>iv</sup> -Dy(2)-O(3)	83.3(2)	O(1)-Dy(2)-O(12) <sup>vi</sup>	78.0(3)
O(6) <sup>iii</sup> -Dy(2)-O(1)	114.5(3)	O(10)-Dy(2)-O(3)	127.1(2)	O(3)-Dy(2)-O(12) <sup>vi</sup>	75.0(2)
Dy(2)-O(1)-Dy(1)	110.2(2)	Dy(2)-O(3)-Dy(1)	110.2(2)		
2					
Eu(1)-O(9)	0.224 0(9)	Eu(1)-O(4)	0.243 2(9)	Eu(2)-O(8)	0.238 9(9)
Eu(1)-O(7)	0.226 2(9)	Eu(1)-O(1)	0.241 2(8)	Eu(2)-O(3)	0.239 9(8)
Eu(1)-O(2)	0.238 1(10)	Eu(2)-O(6)	0.220 7(9)	Eu(2)-O(1)	0.240 2(9)
Eu(1)-O(5)	0.238 3(8)	Eu(2)-O(12)	0.227 6(10)	Eu(2)-O(11)	0.242 6(9)
Eu(1)-O(3)	0.241 1(9)	Eu(2)-O(10)	0.238 1(9)		
O(9)-Eu(1)-O(7)	111.6(4)	O(7)-Eu(1)-O(3)	113.7(4)	O(3)-Eu(1)-O(1)	70.3(3)
O(9)-Eu(1)-O(2)	78.3(4)	O(2)-Eu(1)-O(3)	146.4(3)	O(9)-Eu(1)-O(4)	77.8(3)
O(7)-Eu(1)-O(2)	82.0(4)	O(5)-Eu(1)-O(3)	75.0(3)	O(7)-Eu(1)-O(4)	76.0(4)
O(9)-Eu(1)-O(5)	154.8(3)	O(9)-Eu(1)-O(1)	86.0(4)	O(2)-Eu(1)-O(4)	138.6(4)
O(7)-Eu(1)-O(5)	77.8(4)	O(7)-Eu(1)-O(1)	153.8(3)	O(5)-Eu(1)-O(4)	127.4(3)
O(2)-Eu(1)-O(5)	80.1(3)	O(2)-Eu(1)-O(1)	83.0(3)	O(3)-Eu(1)-O(4)	75.0(3)
O(9)-Eu(1)-O(3)	118.3(4)	O(5)-Eu(1)-O(1)	78.6(3)	O(1)-Eu(1)-O(4)	128.2(3)
O(6)-Eu(2)-O(12)	119.0(4)	O(12)-Eu(2)-O(3)	110.6(3)	O(3)-Eu(2)-O(1)	70.7(3)
O(6)-Eu(2)-O(10)	80.1(4)	O(10)-Eu(2)-O(3)	73.3(3)	O(6)-Eu(2)-O(11)	148.4(4)
O(12)-Eu(2)-O(10)	77.2(4)	O(8)-Eu(2)-O(3)	147.2(3)	O(12)-Eu(2)-O(11)	79.3(4)
O(6)-Eu(2)-O(8)	79.0(4)	O(6)-Eu(2)-O(1)	82.0(4)	O(10)-Eu(2)-O(11)	131.0(3)
O(12)-Eu(2)-O(8)	83.2(4)	O(12)-Eu(2)-O(1)	152.3(3)	O(8)-Eu(2)-O(11)	78.0(3)
O(10)-Eu(2)-O(8)	139.5(4)	O(10)-Eu(2)-O(1)	127.1(3)	O(3)-Eu(2)-O(11)	75.7(3)
O(6)-Eu(2)-O(3)	115.6(4)	O(8)-Eu(2)-O(1)	83.5(3)	O(1)-Eu(2)-O(11)	74.2(3)
Eu(2)-O(1)-Eu(1)	109.4(3)	Eu(2)-O(3)-Eu(1)	109.6(3)		

Symmetry codes: <sup>i</sup> 2-x, 1-y, 1-z; <sup>ii</sup> 1-x, 1-y, -z; <sup>iii</sup> 1-x, 1-y, 1-z; <sup>iv</sup> x, y-1, z; <sup>v</sup> x-1, y, z; <sup>vi</sup> 1-x, -y, -z for 1.

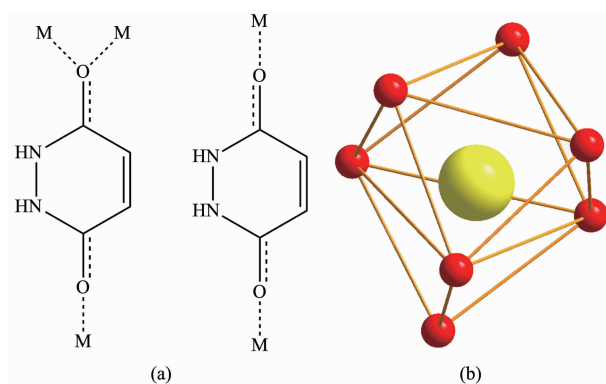
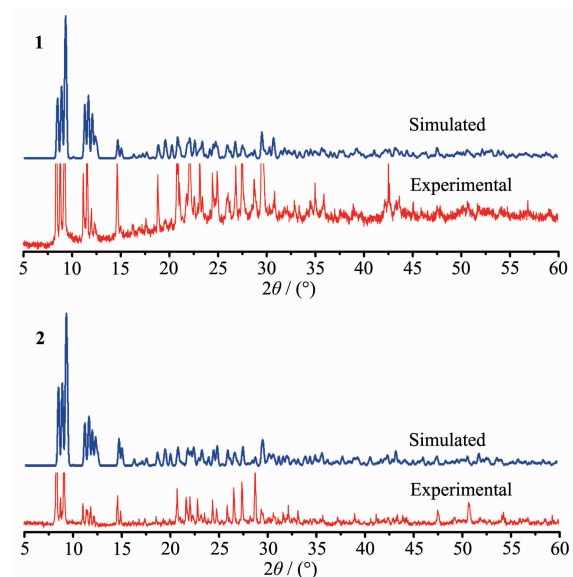


图2 配体(a)和金属(b)的配位模式

Fig.2 Coordination mode of ligand (a) and central metal ions (b)

$\text{Eu}^{2+}$  的距离为  $0.393\ 0(3)\ \text{nm}$ ,  $\text{Eu}^{1+}\text{-O}_1\text{-Eu}^{2+}$  的键角为  $109.4(3)^\circ$ ,  $\text{Eu}^{1+}\text{-O}_3\text{-Eu}^{2+}$  的键角为  $109.6(3)^\circ$ 。以  $\text{Eu}^{1+}$  为中心的  $\text{O}\text{-Eu}^{1+}\text{-O}$  的键角在  $70.3(3)^\circ$  到  $154.8(3)^\circ$  之间,  $\text{Eu}^{1+}\text{-O}$  键的长度在  $0.224\ 0(9)$  到  $0.243\ 2(9)\ \text{nm}$  之间。  $\text{O}\text{-Eu}^{2+}\text{-O}$  的键角在  $70.7(3)^\circ$  到  $147.2(3)^\circ$  之间,  $\text{Eu}^{2+}\text{-O}$  的键长在  $0.220\ 7(9)$  到  $0.242\ 6(9)\ \text{nm}$  之间。对比可知  $\text{Eu}\text{-O}$  的键长都长于对应的  $\text{Dy}\text{-O}$  的键长, 导致虽然  $\text{Dy}^{1+}\text{-O}_1\text{-Dy}^{2+}$  和  $\text{Dy}^{1+}\text{-O}_3\text{-Dy}^{2+}$  的键角大于  $\text{Eu}^{1+}\text{-O}_1\text{-Eu}^{2+}$  和  $\text{Eu}^{1+}\text{-O}_3\text{-Eu}^{2+}$  的键角, 但  $\text{Eu}^{1+}\text{-Eu}^{2+}$  的距离依旧大于  $\text{Dy}^{1+}\text{-Dy}^{2+}$  的距离。

配合物 **1** 和 **2** 的 X 射线粉末衍射数据如图 3 所示。对比实测数据和软件模拟数据可以看出两者峰的位置基本吻合, 说明解析的晶体结构和实际结构一致, 峰的相对强度略有差异可能与测量时晶体

图3 配合物**1**和**2**的X射线粉末衍射图Fig.3 Powder X-ray diffraction of complexes **1** and **2**

的择优取向有关。

配合物 **1** 和 **2** 的空间构型基本相同, 因此以配合物 **1** 为例对其空间结构和拓扑结构进行分析。配合物 **1** 以中心双核结构为单元通过氧原子编号为 5, 6, 11, 12 的 MH 配体连接形成一维链状结构(图 4a); 通过氧原子编号为 1, 2, 7, 8 的 MH 配体将一维结构并排连接, 在晶体 bc 平面形成二维平面结构(图 4b); 通过氧原子编号为 3, 4, 9, 10 的 MH 配体沿晶体 *a* 轴方向将二维平面结构连接形成三维网格结构(图 4c)。以双核金属为顶点得到配合物 **1** 的拓扑结构, 其在 *b* 轴方向形成的孔道与三维结构图中孔道形状一致(图 4d)。该拓扑类型为 tsi, 拓扑点符号为  $\{3^6.4^6.5^6\}8\text{-c net; uninodal net}$ 。

## 2.2 配合物的荧光性

将配体 MH、配合物 **1** 和 **2** 研成粉末测量其固体荧光性质。以  $375\ \text{nm}$  为激发波长测量配合物 **2** 在  $550\text{--}720\ \text{nm}$  范围内的荧光发射光谱(图 5a)。由图 5a 可以看出在  $581, 593, 616, 652$  和  $705\ \text{nm}$  处出现的发射峰应归属为配合物 **2** 中  $\text{Eu}^{3+}$  的  ${}^5D_0\rightarrow{}^7F_0, {}^5D_0\rightarrow{}^7F_1, {}^5D_0\rightarrow{}^7F_2, {}^5D_0\rightarrow{}^7F_3, {}^5D_0\rightarrow{}^7F_4$  能级的跃迁<sup>[22]</sup>。在  $485\ \text{nm}$  激发波长下得到配体和配合物 **1** 的荧光发射光谱(图 5b)。图 5b 中, 配体在  $603\ \text{nm}$  处有较强的荧光发射, 可归属为 MH 配体的  $\pi^*\text{-}\pi$  跃迁。在配合物 **2** 中主要的发光集中在  $616\ \text{nm}$  处, 且 MH 配体在  $603\ \text{nm}$  处的荧光发射峰消失说明在配合物 **2** 中产生了 MH 配体到  $\text{Eu}^{3+}$  的能量传递, 即 MH 配体对  $\text{Eu}^{3+}$  有明显的敏化作用; 配合物 **1** 的荧光表现为减弱的 MH 配体荧光, 且未发现  $\text{Dy}^{3+}$  的特征发射峰, 这说明 MH 配体与  $\text{Dy}^{3+}$  没有实现有效的能量传递, 并且配位后配体的共轭程度下降导致荧光的淬灭。

## 2.3 配合物的热稳定性

在  $70\% \text{N}_2$  和  $20\% \text{O}_2$ (均为体积分数)的气氛下, 以  $10\ ^\circ\text{C}\cdot\text{min}^{-1}$  的升温速率在室温至  $750\ ^\circ\text{C}$  的范围内考察了 2 个配合物的热稳定性(图 6)。从图 6 看出, 配合物 **1** 和 **2** 都具有良好的热稳定性。配合物 **1** 在  $315\ ^\circ\text{C}$  时开始分解, 在  $315\text{--}700\ ^\circ\text{C}$  的范围内因晶体结构坍塌, MH 配体分解氧化生成气体失重  $64.5\%$  (理论值:  $62.61\%$ ), ;  $700\text{--}750\ ^\circ\text{C}$  残重  $35.5\%$ (理论值:  $37.39\%$ )为金属氧化物。配合物 **2** 的失重情况与配合物 **1** 类似, 从  $330\ ^\circ\text{C}$  时开始分解, 在  $330\text{--}700\ ^\circ\text{C}$  的范围内由于晶体结构坍塌, MH 配体分解氧化生成气体导致失重  $66\%$ (理论值:  $63.96\%$ );  $700\text{--}750\ ^\circ\text{C}$  残重  $34\%$ (理论值:  $36.04\%$ )为金属氧化物。

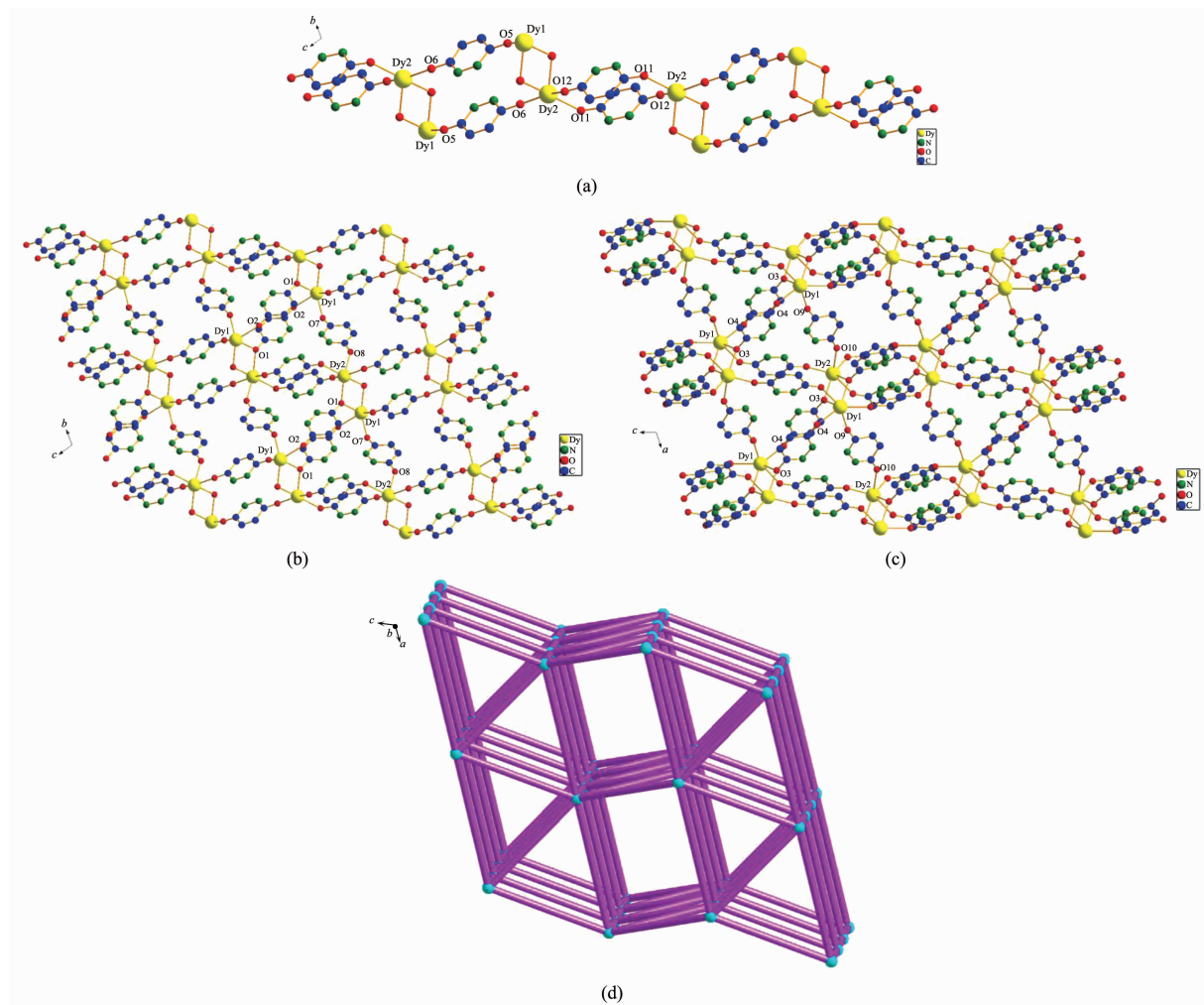


图4 配合物**1**的一维链状结构(a)、二维平面结构(b)、三维网格结构(c)和拓扑结构图(d)  
Fig.4 One dimensional structure (a), two dimensional structure (b), three dimensional structure (c) and topological structure (d) of complex **1**

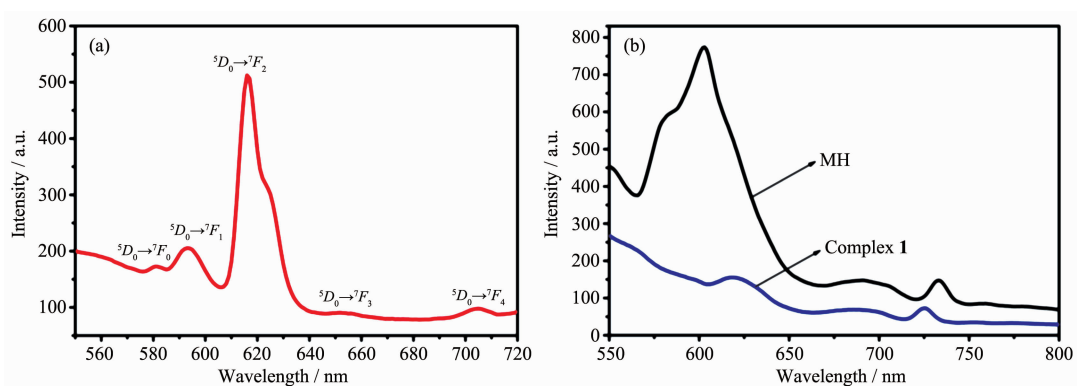


图5 配合物**2**(a)、配合物**1**和配体(b)的固体荧光发射谱  
Fig.5 Fluorescence spectra of complex **2** (a), complex **1** and the ligand (b)

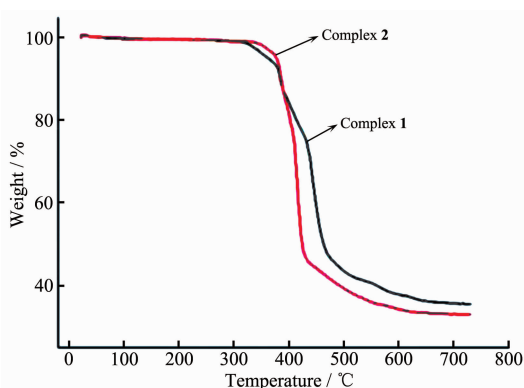


图6 配合物1和2的TG曲线

Fig.6 TG curves of the complexes 1 and 2

### 3 结 论

以顺丁烯二酰肼为配体,DMF为溶剂,通过溶剂热法合成的2个镧系金属配合物具有相似的三维空间网状结构,空间拓扑种类为tsi,在模拟空气的气氛中超过315℃仍有较好的热稳定性。其中配合物2的MH配体对中心Eu<sup>3+</sup>有敏化作用,在激发光波长为375 nm时有Eu<sup>3+</sup>的特征荧光,最强发射峰波长为616 nm,归属为Eu<sup>3+</sup>的<sup>5</sup>D<sub>0</sub>→<sup>7</sup>F<sub>2</sub>能级跃迁。

### 参考文献:

- [1] Li B, Chen B. *Porous Lanthanide Metal Organic Frameworks for Gas Storage and Separation*. Berlin, Heidelberg: Springer, 2014:75-107
- [2] Roy S, Chakraborty A, Maji T K. *Coord. Chem. Rev.*, 2014, 273:139-164
- [3] Pagis C, Ferbinteanu M, Rothenberg G, et al. *ACS Catal.*, 2016, 6(9):6063-6072
- [4] You L, Zhu W, Wang S, et al. *Polyhedron*, 2016, 115:47-53
- [5] Russell S, Loiseau T, Volkringer C, et al. *Inorganics*, 2015, 3(4):467-481
- [6] D'Vries R F, Snejko N, Iglesias M, et al. *Cryst. Growth Des.*, 2014, 14(5):2516-2521
- [7] Wu J X, Yan B. *Inorg. Chem. Commun.*, 2016, 70:189-192
- [8] Zhou J, Li H, Zhang H, et al. *Adv. Mater.*, 2015, 27(44):7072-7077
- [9] Hu Z, Deibert B J, Li J. *Chem. Soc. Rev.*, 2014, 43(16):5815-5840
- [10] Biswas S, Mondal A K, Konar S. *Inorg. Chem.*, 2016, 55(5):2085-2090
- [11] Zhang F, Zou X, Yan P, et al. *Cryst. Growth Des.*, 2015, 15(3):1249-1258
- [12] Zou J Y, Shi W, Xu N, et al. *Eur. J. Inorg. Chem.*, 2014(2):407-412
- [13] DONG Piao-Ping(董飘平), XIE Xin-Rong(谢欣荣), LIANG Fu-Yong(梁福永), et al. *Chin. J. Nonferrous Met. Sci. Eng.*(有色金属科学与工程), 2016, 7(3):137-150
- [14] Han Y, Li X, Li L, et al. *Inorg. Chem.*, 2010, 49(23):10781-10787
- [15] Zhang H, Li N, Tian C, et al. *Cryst. Growth Des.*, 2012, 12(2):670-678
- [16] Binnemans K. *Chem. Rev.*, 2009, 109(9):4283-4374
- [17] FAN Ting-Ting(樊婷婷), QU Xiang-Long(屈相龙), LI Jia-Jia(李佳佳), et al. *Chinese J. Inorg. Chem.*(无机化学学报), 2016, 32(11):1911-1918
- [18] Sheldrick G M. *SADABS*, *Program for Empirical Absorption Correction of Area Detector Data*, University of Göttingen, Germany, 1996.
- [19] Sheldrick G M. *SHELXS-97*, *Program for the Solution of Crystal Structures*, University of Göttingen, Germany, 1997.
- [20] Sheldrick G M. *SHELXL-97*, *Program for the Refinement of Crystal Structures*, University of Göttingen, Germany, 1997.
- [21] Li J Y, Yan Z, Ni Z P, et al. *Inorg. Chem.*, 2014, 53(8):4039-4046
- [22] LI Yun-Feng(李云峰), WANG Chun-Yan(王春燕), LI Xia(李夏). *Chinese J. Inorg. Chem.*(无机化学学报), 2008, 24(8):1311-1315